

ژئوشیمی رسوب‌های رودخانه سرباز در جنوب خاور ایران به منظور تعیین منشأ رسوب‌ها و تأثیر آن بر آلودگی‌های زیست محیطی

مهدیه شهرکی^۱، محمدحسین محمودی قرایی^۲، رضا موسوی حرمی^۳ و علی احمدی^۴

^۱دانشجوی دکترا، گروه زمین‌شناسی، پردیس بین‌الملل، دانشگاه فردوسی مشهد، مشهد، ایران

^۲دانشیار، گروه زمین‌شناسی، دانشکده علوم، دانشگاه فردوسی مشهد، مشهد، ایران

^۳استاد، گروه زمین‌شناسی، دانشکده علوم، دانشگاه فردوسی مشهد، مشهد، ایران

^۴استادیار، گروه زمین‌شناسی، دانشکده علوم پایه، دانشگاه سیستان و بلوچستان، زاهدان، ایران

تاریخ پذیرش: ۱۳۹۴/۰۲/۱۵ تاریخ دریافت: ۱۳۹۳/۰۴/۱۰

چکیده

در پژوهش حاضر حوضه آبریز رودخانه سرباز به منظور تعیین منشأ رسوب‌ها و بررسی آلودگی‌های احتمالی ناشی از آن مورد بررسی قرار گرفته است. بر این اساس ۳۰ نمونه رسوب از بستر رودخانه برداشت و پس از دانه‌بندی و آماده‌سازی در آزمایشگاه به روش XRF و جذب اتمی تجزیه شد. تجزیه و تحلیل ژئوشیمیابی عناصر اصلی و کمیاب و رسمند از روی نمودار، ترکیب معادل لیتراتوریت را نشان می‌دهد. استفاده از نمودارهای تفکیکی بیانگر جایگاه زمین‌ساختی جزایر کمانی و منشأهای رسوبی کوارتزی و آذرین حدوداً برابر بیشتر نمونه‌های است. با توجه به اینکه عناصر فلزی و شبه فلزی اهمیت ویژه‌ای در رابطه با آلودگی‌های زیست محیطی دارند انواع آنها شامل V, As, Se, Pb, Ni, Cr, Cu, Fe, Mn, Hg, Co, Zn در ۳۰ ایستگاه مختلف مورد بررسی قرار گرفت. غلظت عناصر در ۷ ایستگاه برای سرب، در ۱۰ ایستگاه برای کادمیم و در ۲۰ ایستگاه برای آرسنیک بیش از حد طبیعی این عناصر در دیگر نقاط جهان است. در مطالعه حاضر با استفاده از شاخص زمین‌انباشت (Geo_{geo}) ارزیابی آلاندگی رسوب‌ها صورت پذیرفت. با توجه به این شاخص، عناصر Pb, Cd, Zn در جاتی از آلودگی را شناساند ولی دیگر عناصر از دید این شاخص، غیرآلوده ارزیابی شدند. مطالعات آماری نشان داد که این عناصر همبستگی بالایی دارند که با توجه به حضور فعالیت‌های آتش‌نشانی در منطقه نشانگر منشأ مشترک این آلاندگی‌ها در حوضه آبریز مورد مطالعه است. همچنین منشأ کروم احتمالاً از افیولیت‌های موجود در منطقه است. بر پایه نتایج بدست آمده عوامل زمین‌زاد آلودگی رسوب‌های منطقه را کنترل می‌کنند.

کلیدواژه‌ها: ژئوشیمی، شاخص زمین‌انباشت، آلاندگی رسوبات، حوضه آبریز سرباز.

*نویسنده مسئول: محمدحسین محمودی قرایی

E-mail: mhmgharaie@um.ac.ir

۱- پیش‌نوشتار

داده‌های ژئوشیمیابی رسوبات آواری آرشیو اطلاعاتی مهمی برای مطالعه آنها از دید رسوبی و زیست محیطی است (Rollinson, 1993). ترکیب شیمیابی این رسوبات محصول پایانی عوامل مختلف زمین‌شناسی مانند جایگاه زمین‌ساختی، ترکیب سنگ منشأ، شدت هوازدگی، بلوغ بافتی و کانی‌شناسی در طی حمل و رسوب گذاری است (Roddaz et al., 2006). ارزیابی آلاندگی رسوبات حوضه آبریز یک رودخانه از آنجا که می‌تواند بر کیفیت آب رودخانه اثر بگذارد اهمیت زیادی دارد. منشأ آلودگی این رسوبات می‌تواند هوازدگی طبیعی سنگ‌ها، ورود فاضلاب‌های صنعتی و خانگی و دیگر فعالیت‌های انسانی باشد (U.S.Environmental Protection Agency, 2001). آلاندگی محیط زیست توسط فلزات سنگین مشکلی جهانی است؛ زیرا این عناصر از دید شیمیابی در محیط زیست پایدار هستند، در محیط باقی می‌مانند، وارد چرخه غذایی می‌شوند و بسیاری از آنها اثرات سمی بر موجودات زنده دارند (Ghrefat & Yusuf, 2006). با توجه به اینکه فلزات سنگین اهمیت ویژه‌ای در رابطه با آلودگی‌های زیست محیطی دارند بررسی منشأ آنها که می‌تواند زمین‌زاد و متأثر از برخاستگاه رسوبات باشد، ضروری می‌نماید. بنابراین بیش از نتیجه‌گیری پایانی در رابطه با آلودگی و یا آلاندگی رسوبات باید کانی‌شناسی رسوبات و فرایندهای مؤثر در تشکیل آن مورد مطالعه قرار گیرد. از آنجا که عناصر اصلی و کمیاب شاخص‌های مفیدی برای تعیین شرایط ناحیه منشأ رسوبات هستند (Cullers, 2000; Jafarzadeh et al., 2014)، در مطالعه حاضر سعی بر این است تا با استفاده از تجزیه اکسیدهای اصلی و عناصر فرعی، اطلاعاتی درباره سنگ منشأ و جایگاه زمین‌ساختی رسوبات آواری حوضه آبریز رودخانه سرباز را ارائه شود تا در پایان با استفاده از این داده‌ها تعیین منشأ آلودگی عناصر سنگین در رسوبات رودخانه سرباز را مورد ارزیابی قرار داد.

۲- زمین‌شناسی منطقه

حوضه آبریز سرباز (شکل ۱) با سطح زهکشی ۲۳۷۷/۸ کیلومتر مربع در جنوب خاور شهرستان ایرانشهر و شمال خاوری نقشه زمین‌شناسی نیکشهر در استان سیستان و بلوچستان، میان طول‌های جغرافیایی $۵۳^{\circ} ۰' \text{ to } ۶۰^{\circ} ۰'$ خاوری و عرض‌های $۲۶^{\circ} ۰' \text{ to } ۲۷^{\circ} ۰'$ شمالی قرار گرفته است (افتخارنژاد و صمدیان، ۱۳۶۷). بر پایه تقسیم‌بندی زمین‌شناسی ایران توسط آقانباتی (۱۳۸۳) منطقه مطالعاتی سرباز، با توجه به ویژگی‌های سنگ‌شناسی و چینه‌شناسی آن و سازندگان زمین‌شناسی، در پنهانه مکران قرار گرفته است. واحدهای سنگی منطقه مورد مطالعه در دو دسته کهن و جوان قرار می‌گیرند. دسته کهن مربوط به دوره کرتاسه تا ترکیه‌ای و پیشتر شامل ماسه‌سنگ همراه با شیل، سنگ‌آهک، واحدهای افیولیتی و سنگ‌های آذرین است. نهشته‌های جوان بیشتر رسوباتی است که در طی کواترنری (پلیوستون و هولوسن) شکل گرفته‌اند. این رسوبات بیشتر در بخش جنوبی حوضه قرار دارند و تشکیل پادگانه‌های مسطح با شبکه ملایم را می‌دهند. حوضه پادشده از دید آب‌شناسی از محدود رودخانه‌هایی است که دارای جریان دائمی آب در این منطقه است (سازمان آب منطقه‌ای استان سیستان و بلوچستان و ۱۳۷۹). در حوضه مورد مطالعه از آنچه که مقاومت زمین در برابر فرسایش عموماً یکسان است، الگوی فرسایش در بیشتر نقاط شاخه درختی است ولی گاه دیگر شکل‌های فرسایشی مانند داربستی، موازی و نیمه‌موازی نیز به چشم می‌خورد.

۳- روش مطالعه

در منطقه مورد مطالعه نمونه‌برداری از کانال‌های رودخانه‌ای، مطابق با پروتکل‌های NAWQA (National Water Quality Assessment) انجام شد (Deacon & Driver, 1999). این نمونه‌ها از بخش غیر آشفته و مرطوب (با رطوبت

۵-۱. رده‌بندی ژئوشیمیابی

در سنگ‌های رسویی یافتن رابطه‌ای ساده میان کانی‌شناسی و ترکیب شیمیابی رسوبات دشوار است. به این دلیل، رده‌بندی ژئوشیمیابی ماسه‌سنگ‌ها از رده‌بندی کانی‌ساخته مرسوم که بر پایه کوارتز-فلدپار-خرده‌سنگ‌ها استوار است، پیروی نمی‌کند. در عوض، رده‌بندی ژئوشیمیابی می‌تواند سبب تمایز رسوبات بالغ و نابالغ باشد (Rollinson, 1993). رایج‌ترین معیار بلوغ رسوب، مقدار SiO_2 و Al_2O_3 است (Potter, 1978) که نمایانگر فراوانی کوارتز، رس و فلدپار است. دیگر شاخص بلوغ شیمیابی مقدار قلایی‌ها ($\text{Na}_2\text{O} + \text{K}_2\text{O}$) است که مقیاسی از مقدار فلدپار موجود است. طرح‌های مختلف رده‌بندی برای سنگ‌های آواری بر پایه داده‌های شیمیابی سنگ‌ها ارائه شده است. داده‌های حاصل از تعیینهای ژئوشیمیابی عناصر اصلی مربوط به نمونه‌های رسوبات مورد مطالعه روی نمودار رده‌بندی (Pettijohn et al. 1987) (شکل ۴) رسم شده است. بر پایه این نمودار بسیاری از نمونه‌های رسوب در محدوده لیتیک آرناتیت رده‌بندی شدند. افزون بر اینکه ۲ نمونه نیز در منطقه آرکوز و ساب آرکوز قرار گرفته‌اند.

۵-۲. سنگ مادر

ترکیب ماسه‌سنگ‌ها توسط نوع سنگ منشأ، مسافت حمل و نقل و فرایندهای دیاژنری کنترل می‌شود، هر چند موقعیت زمین‌ساختی حوضه رسبوگذاری نیز در این امر نقش مهمی دارد (Akarish & El-Gohary, 2008). رسم داده‌های عناصر اصلی نمونه‌های رسوب حوضه آبریز سرباز روی نمودار تابع تفکیکی (Roser & Korsch 1988) نشان‌دهنده منشأهای رسویی کوارتزی و آذرین حدواسط برای بیشتر نمونه‌های است (شکل ۵). افزون بر اینکه یکی از این نمونه‌ها روی مرز منشأ آذرین مافیک قرار گرفته است.

تابع تفکیکی نمودار شکل ۵ به شرح زیر به دست می‌آید:

$$30.638 \text{ TiO}_2/\text{Al}_2\text{O}_3 - 12.541 \text{ Fe}_2\text{O}_3(\text{total})/\text{Al}_2\text{O}_3 + 7.329$$

$$\text{MgO}/\text{Al}_2\text{O}_3 + 12.031 \text{ Na}_2\text{O}/\text{Al}_2\text{O}_3 + 35.402 \text{ K}_2\text{O}/\text{Al}_2\text{O}_3 - 6.382$$

$$2 56.500 \text{ TiO}_2/\text{Al}_2\text{O}_3 - 10.879 \text{ Fe}_2\text{O}_3(\text{total})/\text{Al}_2\text{O}_3 +$$

$$30.875 \text{ MgO}/\text{Al}_2\text{O}_3 - 5.404 \text{ Na}_2\text{O}/\text{Al}_2\text{O}_3 + 11.112 \text{ K}_2\text{O}/\text{Al}_2\text{O}_3 - 3.89$$

افزون بر نمودار بالا، می‌توان از نمودار $\text{TiO}_2/\text{Al}_2\text{O}_3$ نسبت به Al_2O_3 نیز برای تعیین نوع سنگ مادر رسوبات استفاده کرد (Ekosse, 2001; Tao et al., 2013). پس از رسم داده‌ها روی این نمودار نیز نوع سنگ مادر رسوبات مورد مطالعه از نوع گرانیت/بازالت تعیین شد که این موضوع نیز تأییدی بر ترکیب حد واسطه سنگ منشأ است (شکل ۶).

قرار دادن نسبت کروم به وانادیم یانگر غنی‌سازی کروم پیش از دیگر عناصر کمیاب فرومیزین است. در مقابل، نسبت Y/Ni نشان‌دهنده سطح کلی عناصر فرومیزین (Ni) در مقایسه با Y است که یک نماینده برای عناصر REE سنگین است (McLennan et al., 1993). متابع مافیک و اولترامافیک تمایل دارند که مقدار V/Cr بیشتر و Y/Ni کمتری داشته باشند. شکل ۷ نشان می‌دهد که همه نمونه‌های مورد مطالعه مقدار Y/Ni کمتر از $2/5$ و نسبت Cr/V کمتر از $8/2$ دارند و تأیید کننده منشأ آذرین حدواسط برای این نمونه‌های است.

۵-۳. جایگاه زمین‌ساختی و چرخه رسوبی

فرایندهای زمین‌ساخت صفحه‌ای از دو راه بر رسوبات تأثیر ژئوشیمیابی می‌گذارند؛ اول اینکه محیط‌های زمین‌ساختی مختلف ویژگی‌های ناحیه منشأ ویژه‌ای دارند و دوم اینکه، فرایندهای رسویی ویژه‌ای در آنها رخ می‌دهد که سبب اختلاف در ویژگی رسوبات حاصل می‌شود. حوضه‌های رسویی را می‌توان به چند جایگاه زمین‌ساختی اصلی از جمله جزایر کمانی، حاشیه فعال قاره‌ای و حاشیه غیر فعال قاره‌ای نسبت داد (Bhatia & Crook, 1986).

در نمودار تفکیکی $\text{SiO}_2/\text{Na}_2\text{O}$ - $\text{K}_2\text{O}/\text{Na}_2\text{O}$ سه جایگاه زمین‌ساختی حاشیه

دایمی) پهنه‌های رسویی کاتال‌های رودخانه‌ای انتخاب شد. از میان نمونه‌های رسویی برداشت شده از سرتاسر حوضه، ۳۰ نمونه رسوب برای تعیین عناصر کمیاب به روش جذب اتمی، ۱۵ نمونه رسوب به منظور انجام تجزیه توسط XRF و ۴ نمونه رسوب از هر یک از سرشاخه‌های اصلی حوضه آبریز برای تعیین کانی‌های سازنده رسوبات به روش XRD (مدل PW1800) ساخت کمپانی PHILIPS (PHILIPS) انتخاب شدند. نمونه‌های رسویی انتخاب شده به منظور حذف بخش کربناتی و خرده‌های فسیلی اسیدشویی شده و پس از خشک شدن و توزین دواره و تهیه پودر از ۱۵ نمونه رسوب، در آزمایشگاه شرکت کانسازان بینالود توسط دستگاه XRF مدل PW1480 مورد تجزیه اکسیدهای اصلی قرار گرفتند (جدول ۲). تجزیه عناصر فرعی و کمیاب نمونه‌ها توسط دستگاه جذب اتمی مدل AA240 ساخت شرکت Varian در آزمایشگاه ژئوشیمی سازمان زمین‌شناسی و اکتشافات معدنی کشور صورت گرفت. برای تجزیه و تحلیل داده‌ها از نرم‌افزار (16) SPSS استفاده شد. به منظور تعیین رابطه عناصر با یکدیگر و مشا آنها در رسوبات رودخانه سرباز، ضرایب همبستگی عناصر موجود در رسوبات مورد بررسی قرار گرفت.

۴- کانی‌شناسی رسوبات و تعیین اندازه ذرات آن

نتایج تجزیه XRD نشان داد که کانی‌های اصلی این رسوبات شامل کوارتز، کلسیت، آلیت، کلریت و کانی‌های فرعی شامل مسکوویت، ایلیت، اتوکلاز، دولومیت و هورنبلنده است (شکل ۲ و جدول ۱).

تعیین اندازه ذرات رسوبات با استفاده از الک‌خشک و مرطوب انجام شد. پس از رسم نتایج داده‌بندی روی نمودار مثلثی تعیین نوع رسوبات (Folk, 1974)، بافت نمونه‌ها از نوع گراول، گراول ماسه‌ای، ماسه گراولی، گراول ماسه‌ای گلی و ماسه گلی گراولی تعیین شد (شکل ۳).

۵- ژئوشیمی عنصری رسوبات

بررسی عناصر اصلی نمونه‌های رسویی حوضه آبریز سرباز در سه سرشاخه اصلی صورت گرفت. رودخانه‌های سرکور، مچ‌کور، سیاه‌کور و رگنان در سرشاخه اول، رودخانه‌های کوش‌کور و کوش در سرشاخه دوم و رودخانه‌های گوارمرگ، سنگ‌مسجد و اسپکار در سرشاخه سوم قرار دارند. به این ترتیب ایستگاه‌های شماره ۱ تا ۹ در سرشاخه اول، ایستگاه‌های شماره ۱۰ تا ۲۰ در سرشاخه دوم و ایستگاه‌های شماره ۲۱ تا ۳۰ در سرشاخه سوم قرار گرفته‌اند. تجزیه عناصر اصلی و فرعی ۱۵ نمونه رسوب رودخانه سرباز در جدول ۲ ارائه شده است. این جدول نشان می‌دهد که از میان اکسیدهای اصلی، بیشتر نمونه‌های دارای مقادیر بسیار زیاد SiO_2 (با مقدار میانگین $62/85$ درصد)، Al_2O_3 (با مقدار میانگین $15/41$ درصد) و Fe_2O_3 (با مقدار میانگین $7/09$ درصد) هستند. در برایر آن، اکسیدهای TiO_2 , MnO , CaO و P_2O_5 مقداری میانگین کمتر از 5 درصد دارند. در جدول ۱ کمترین و بیشترین مقدار هر عنصر به ترتیب با اعداد ۱ و ۲ مشخص شده است. برای نمونه بیشترین مقدار SiO_2 در نمونه شماره ۲۵ و کمترین مقدار آن در نمونه شماره ۶ وجود دارد. در میان این عناصر بیشترین مقدار عنصر P_2O_5 در نمونه شماره ۲۲ و کمترین مقدار آن در بیش از یک ایستگاه، در نمونه‌های شماره ۲، ۵، ۶، ۲۳، ۱۰، ۸، ۵ و ۲۹ دیده می‌شود. از آنجایی که Al_2O_3 در طی هوازدگی، دیاژنر و دگرگونی تغییر زیادی نشان نمی‌دهد، معمولاً به عنوان عاملی مقایسه میان سنگ‌شناسی‌های مختلف به کار می‌رود. این در حالی است که CaO به عنوان متغیر ترین فازها در ماسه سنگ‌ها شناخته می‌شوند (Gateneh, 2000). در برخی از نمونه‌ها روابط مستقیم یا وارون میان فراوانی عناصر دیده می‌شود. از داده‌های نتایج تجزیه ژئوشیمی جدول ۲ نیز در رده‌بندی نام‌گذاری رسوبات و همچنین تعیین منشأ و تعیین جایگاه زمین‌ساختی رسوبات به شرح زیر استفاده کرد.

ترکیب سنگ‌های حدوداً آندریتی - داسیتی را نشان می‌دهد (بومری، ۱۳۸۴؛ Daliran et al., 2005). نزدیکی حوضه آبریز رودخانه سرباز به کوه‌های آتشفسانی یادشده را می‌توان دلیلی برای وجود رسوبات با ترکیب تعیین شده دانست. وجود پی‌سنگ افولیتی و عملکرد فازهای زمین ساختی فعل همراه با فعالیت‌های آتشفسان و گرمابی در منطقه می‌تواند سبب تغییرات ژئوشیمیایی و در پی آن تمرکز عناصر سنگین در رسوبات شود که از دید زیست‌محیطی بررسی آن اهمیت دارد.

۶- عناصر فلزی و شبکه‌فلزی در رسوبات رودخانه سرباز

به منظور ارزیابی ژئوشیمی زیست‌محیطی حوضه آبریز رودخانه سرباز در جنوب ایرانشهر، نمونه‌های رسوبی برداشت شده از ۳۰ ایستگاه در این حوضه مورد تجزیه عناصر سنگین شامل V, Se, Pb, As, Co, Cr, Cu, Fe, Mn, Hg, Ni و Cd قرار گرفت (جدول ۳ و شکل ۱۱). غلظت عناصر در ۷ ایستگاه برای سرب، در ۱۰ ایستگاه برای کادمیم و در ۲۰ ایستگاه برای آرسنیک بیش از غلظت طبیعی تعیین شده برای هر عنصر در چند نقطه از جهان بوده است (جدول ۴). در مطالعه حاضر ارزیابی آلایندگی رسوبات با استفاده از شاخص زمین‌انباست (I_{geo}) صورت گرفت. شاخص زمین‌انباست از رابطه زیر به دست می‌آید (Muller, 1969):

$$I_{geo} = \log_2 C_n / 1.5 \times B_n$$

که در آن C_n غلظت عناصر سنگین اندازه گرفته شده در رسوبات، B_n مقدار زمینه عنصر در میانگین شیل‌ها (Turekian & Wedepohl, 1961) و $1/5$ ضریب تصحیح اثرات سنگ‌شناسی است. شاخص زمین‌انباست (I_{geo}) شامل ۷ رده آلودگی است (جدول ۵).

با توجه به شاخص زمین‌انباست، عناصر Pb, Zn, Cd و Cu در جاتی از آلودگی را نشان دادند ولی دیگر عناصر از دید این شاخص، غیرآلوده ارزیابی شدند. مطالعات آماری نشان داد که این عناصر همبستگی بالایی نسبت به هم دارند که می‌توانند نشانگر منشأ متشترک این آلاینده‌ها در این حوضه آبریز باشد. همچنین شاخص زمین‌انباست بر پایه مقادیر میانگین عناصر در نمونه‌های رسوب به دست آمد؛ Cd آلودگی زیادی از خود نشان داد؛ سرب، روی و مس آلودگی متوسط نشان دادند و دیگر عناصر در رده غیرآلوده قرار گرفتند (جدول ۶).

۶-۱. تفسیر آماری و تعیین منشأ عناصر سنگین

به منظور تفسیر آماری عناصر با یکدیگر و تعیین منشأ آنها در رسوبات رودخانه سرباز، ضرایب همبستگی عناصر موجود در رسوبات مورد استفاده قرار گرفته است. سپس این ضرایب به نمودار خوش‌های تبدیل شده که به وسیله آن می‌توان ضرایب همانندی نمونه‌های رسوب را مورد بررسی قرار داد. این نتایج در جدول ۷ و شکل ۱۲ ارایه شده است. تجزیه خوش‌های از دو شاخه اصلی تشکیل شده است. در یک شاخه عنصر کروم و در شاخه دوم، دیگر عناصر حضور دارند که تحت ضرایب همانندی معنی دار به یکدیگر متصل شده‌اند. در شاخه دوم بیشترین ارتباط مثبت میان عناصر آرسنیک و وانادیم، نقره و کادمیم و نیز میان جیوه و سلینی وجود دارد (شکل ۱۲). منگنز، مس و روی با ضریب همانندی کمتر ولی معنادار به این دسته متصل شده‌اند. میان آهن و سرب نیز ارتباط معناداری وجود دارد. نیکل و مولیبدن با ضرایب همانندی کمتر به این دسته افزوده شده‌اند. دو شاخه اصلی با ضریب همانندی بسیار پایین و غیر معنی دار به یکدیگر متصل شده‌اند که می‌توان نتیجه گرفت که منشأ عناصر در دو شاخه متفاوت بوده است.

منشأیابی عناصر موجود در رسوبات حوضه آبریز رودخانه سرباز با استفاده از مطالعات آماری صورت گرفته نشان داد که آرسنیک با همه عناصر همبستگی مثبت دارد ولی با کروم همبستگی منفی نشان می‌دهد که می‌تواند به رفتار ژئوشیمیایی متفاوت کروم و یا منشأ احتمالاً متفاوت کروم از دیگر عناصر بستگی داشته باشد (شکل ۱۳ و جدول ۷). با توجه به نمودار درختی، عناصری که در شاخه‌های فرعی تر

غیرفعال، حاشیه فعال قاره‌ای و جزایر کمانی را می‌توان تشخیص داد (شکل ۸). رسم نسبت $\text{K}_2\text{O}/\text{Na}_2\text{O}$ در برابر SiO_2 نشان‌دهنده جایگاه زمین ساختی جزایر کمانی برای پیش‌نمونه‌های مورد بررسی است. در این میان، تنها یک نمونه منشأ حاشیه قاره‌ای فعال را نشان می‌دهد (شکل ۸).

از فرایندهای معمول در چرخه رسوبی می‌توان به هوازدگی اشاره کرد که از راه داده‌های ژئوشیمیایی قابل بررسی است. برای درک رابطه میان شاخص شیمیایی هوازدگی (CIA) به دست آمده و نسبت عناصر، از قراردادن نسبت‌های K/Na و Al/Na در برابر Ti/Na که از راه معادله زیر به دست می‌آید استفاده شده است (Baolin et al., 2013).

$$\text{CIA} = [\text{Al}_2\text{O}_3]/(\text{Al}_2\text{O}_3 + \text{CaO} + \text{Na}_2\text{O} + \text{K}_2\text{O}) * 100$$

این نمودارها نشان‌دهنده هوازدگی متوسط کانی‌های سیلیکات هستند (شکل ۹). ارزش CIA در همه نمونه‌ها با نسبت‌های K/Na و Al/Na در ارتباط معناداری است. سدیم در پلازموکالازها از ابتدا موجود بوده ولی نسبت آلومینیم و تیتانیم به تدریج با افزایش هوازدگی شیمیایی کانی‌های رسی ثانویه در حال افزایش است. از آنجا که رسوبات مورد مطالعه از بستر رودخانه سرباز گردآوری شده‌اند افزایش این نسبت‌ها را می‌توان به آبشویی رسوبات مورد مطالعه نیز نسبت داد.

شکل ۱۰ نسبت عناصر U-Th را در برابر Th نشان می‌دهد (McLennan, 1993). اورانیم به آسانی در طی هوازدگی و چرخه‌های رسوبی انتقال می‌یابد و نتیجه این فرایند افزایش نسبت U-Th خواهد بود. میانگین نسبت U در سنگ‌های پوسته بالایی حدود ۳/۸ است (Taylor & McLennan, 1985) در نمونه‌های Th موردنظر مطالعه از ۰/۵ تا ۳/۰ متغیر است. بنابراین همه نمونه‌های رسوب موردنظر مطالعه در زیر حد پوسته قاره‌ای بالایی (UCC) قرار می‌گیرند. احتمالاً نتیجه زمین ساخت فعال در مناطق منشأ است که سبب شده رسوبات از سنگ منشأ با کمترین هوازدگی یا از موادی با کمترین جایه‌جایی و رسوب گذاری مشتق شوند.

تعیین منشأ رسوبات بر پایه شواهد زمین‌شناسی و داده‌های ژئوشیمیایی، در مطالعات زیست‌محیطی و آلایندگی عناصر سنگین در رسوبات رودخانه ای اهمیت دارد. حوضه آبریز رودخانه سرباز بخشی از پهنه مکران درونی در جنوب خاور ایران است که بی‌سنگ افولیتی دارد. از رخمنونهای موجود در شمال منطقه موردنظر مطالعه می‌توان به شیل، سنگ‌آهک پلازیت، رادیولاریت، اسپلیت، آندزیت، بازالت، گابرو، دیاباز، دیوریت، هارزبورزیت و سرپانتینیت اشاره کرد (آقاباتی، ۱۳۸۳). واحدهای افولیتی و نهشته‌های همراه آن کهنه ترین رسوبات منطقه به سن کرتاسه هستند که در برخی نقاط توسعه شیل‌های آهکی به سن پالتوسین پوشیده می‌شوند (Burg et al., 2012). در این منطقه فلیش‌های الیگوسن توسعه رسوبات می‌پوشند و پلیوسن که بیشتر رخساره آواری دارد، با دگرگشی زاویه‌ای پوشیده شده‌اند. جوان ترین رسوبات منطقه ماسه‌سنگ‌های سست و کم‌سیمان پلیو-پلیستوسن هستند که با پادگانهای کواترنری پوشیده شده‌اند (آقاباتی، ۱۳۸۳). فرورانش پوسته اقیانوسی عمان به زیر منشور برافاینده قاره‌ای مکران سبب چن‌خوردگی‌هایی با روند خاوری-بختری شده و فعالیت‌های آتش‌شناسی بزمان و تفتان را در قالب یک کمان ماقمایی ایجاد کرده است (Burg et al., 2012). بنابراین داده‌های به دست آمده (شکل‌های ۶، ۷ و ۸) گویای این مطلب است. گودال جازموریان به سوی جنوب پس از کمان‌های ماقمایی به عنوان یک حوضه پیش‌کمانی، به تله‌ای برای تجمع رسوبات تبدیل شده است. استفاده از نمودار تفکیکی (شکل ۸) برای نمونه‌های رسوبات حوضه آبریز سرباز نیز جایگاه زمین ساختی جزایر کمانی را نشان می‌دهد که با موقعیت جغرافیایی و زمین‌شناسی منطقه همخوانی دارد. مطالعات سنگ‌شناسی و ژئوشیمیایی ترکیب رسوبات نشان می‌دهد که رسوبات به احتمال زیاد منشأ توکیوی از سنگ‌های رسوبی کوارتزی و آذرین حدوداً دارند (شکل‌های ۶ و ۷). ویژگی‌های سنگ‌های آتش‌شناسی رشته کوه‌های تفتان و بزمان

با توجه به یافته های بالا می توان دسته C را به عنوان آلوده ترین گروه معرفی کرد. توزیع و انتشار عناصر در رسوبات به فرایندهای حمل و نقل و تهشیش مواد از منشأ تا محل رسوب مواد بستگی دارد. از آنجا که تمرکز عناصر با اندازه ذرات بستگی زیادی ندارد، بنابراین انتقال فیزیکی تنها عامل انتقال عناصر نیست. مهم ترین عوامل کنترل میزان تمرکز عناصر کمیاب افزون بر اندازه ذرات، شرایط شیمیایی (همانند جذب سطحی و تجمع عناصر کمیاب) محیط رسوبی (Willams et al., 1994)، تغییرات هیدرودینامیکی، فرایندهای فیزیکی و شیمیایی و عوامل زیستی هستند. تأثیر متفاوت این فرایندها بر همدیگر و نیز بر محیط رسوبی سبب ایجاد انواع متفاوتی از توزیع عناصر در محیط می شود. رودخانه سرباز در طی مسیر خود از رخمنون های سنگی مختلف عبور می کند که فرسایش آنها زمینه ای مناسب برای حضور عناصر از سازندها و واحد های سنگی پیرامون می شود. با توجه به حضور پوسته های افیولیتی در پیرامون سرشاره اول، تمرکز عنصر کروم در میان این نمونه ها دور از انتظار نیست. افزون بر آن با توجه به حضور واحد های سنگی زمین شناسی از جنس ماسه سنگ آتشفسانی، توف و شیل در شمال و شمال خاور منطقه مورد مطالعه (شکل ۱-ب)، این انتظار وجود دارد که این عناصر از راه فرسایش واحد های سنگی یاد شده وارد رودخانه سرباز شده باشند.

۷- نتیجه گیری

رده بندی ژئوشیمیایی بیشتر رسوبات مورد بررسی نشان دهنده ترکیب معادل لیتارتایت است. رسم نمودارهای تفکیکی ترکیب رسوبی کوارتزی و ماقمایی حدواتست را برای منشأ رسوبات تعیین می کند. این موضوع با کانی شناسی نمونه های رسوب همخوانی دارد. نتایج رسم داده های ژئوشیمیایی در نمودارهای تفکیکی بیانگر جایگاه زمین ساختی جزایر کمانی برای بیشتر نمونه هاست.

شخص شیمیایی هوازدگی به دست آمده نشان دهنده هوازدگی متوسط تا شدید در ناحیه منشأ است. مقدار بالای شخص شیمیایی هوازدگی، طبیعت فعل و پویای سامانه رودخانه ای و در پی آن، حذف مواد ناپایدار و باقی ماندن مواد معدنی پایدار، می تواند دلیل وجود ترکیب تعیین شده حوضه در منطقه منشأ باشد. افزون بر اینکه ناپایداری پوسته زمین، نا آرام بودن خود حوضه رسوبی و عملکرد فاز های زمین ساختی فعل، از عوامل مؤثر در ایجاد ساختارهای زمین ساختی و در پی آن تغییرات ژئوشیمیایی موجود در منطقه هستند.

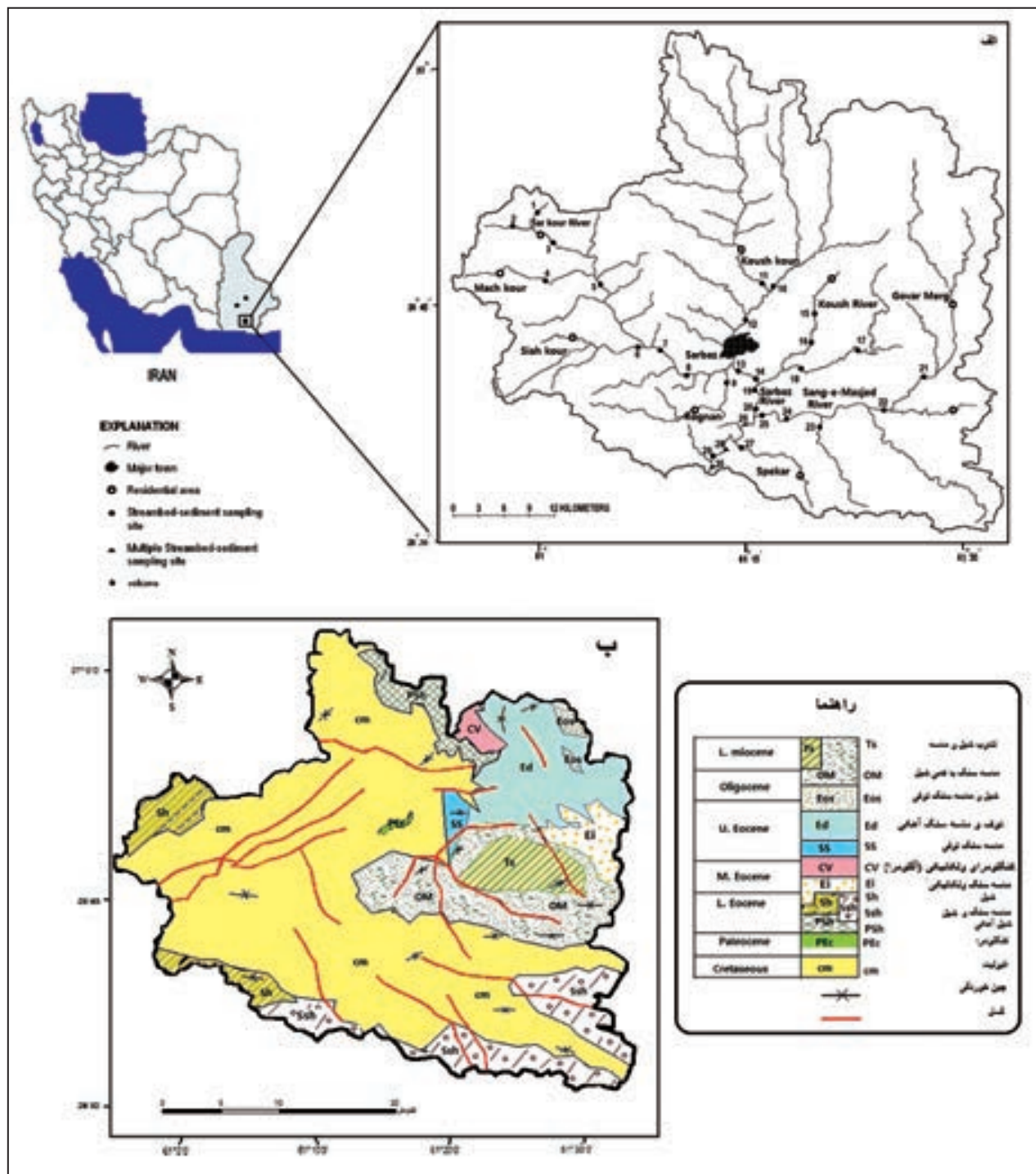
غلظت نسی برخی از عناصر کمیاب در رسوبات مورد بررسی در مقایسه با دیگر عناصر بیشتر است. این عناصر عموماً از احتلال و هوازدگی واحد های بالا دست منشأ گرفته اند. بنابراین میزان متوسط تا شدید هوازدگی شیمیایی و چرخه های رسوبی در منطقه مورد بررسی، اینحال و هوازدگی واحد های بالا دست، موقعیت زمین ساختی جزایر کمانی، منشأ ماقمایی حدواتست و حضور افیولیت ها برای رسوبات حوضه آبریز رودخانه سرباز در تمرکز و فراوانی نسبی برخی از عناصر در منطقه مورد مطالعه تأثیر داشته است.

با به دست آوردن شاخص زمین ابناشت بر پایه مقادیر میانگین عناصر در نمونه های رسوب، Pb، Cd، Zn درجه ای از آلودگی را نشان دادند ولی دیگر عناصر از دید این شاخص، غیرآلوده ارزیابی شدند. Cd آلودگی زیادی از خود نشان داد. سرب، روی و مس آلودگی متوسط نشان دادند.

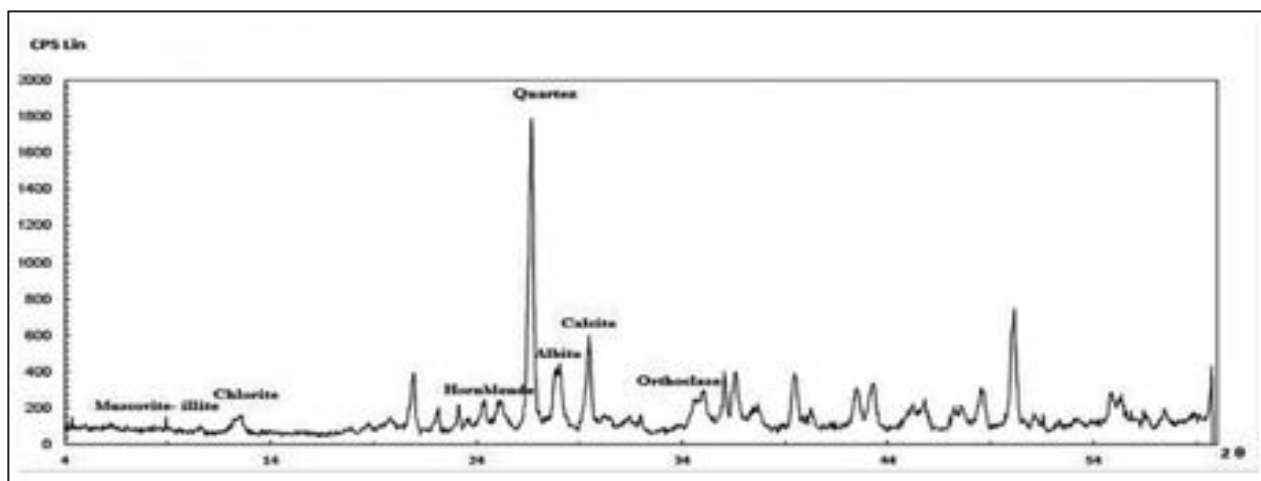
قرار دارند از منشأ آلاند مشترکی ناشی شده اند و یا رفتار ژئوشیمیایی همانندی دارند.

با توجه به اینکه در بیشتر گزارش های زمین شناسی به بقایای پوسته اقیانوسی تیس در این ناحیه از کشور اشاره شده است (Stocklin, 1974; Berberian, 1981) و همچنین در نقشه زمین شناسی منطقه نیز مشهود است (شکل ۱-ب)، تمرکز کروم به میزان قابل توجه در پوسته های افیولیتی قابل انتظار است و به صورت معادن کرومیت بزیران ایرانشهر، فنوج و سرباز در منطقه وجود دارد (آقاباتی، ۱۳۸۳). بنابراین منشأ کروم را می توان به پوسته های افیولیتی بخشی از منطقه مورد مطالعه نسبت داد. از سوی دیگر فعالیت های آتشفسانی در منطقه تفتان و بزمان که با خروج گازها و سیال هایی از دهانه آن کوه ها و نیز وجود چشم های آب گرم همراه است نشانه هایی از وجود یک سامانه گرمایی در منطقه است. افزون بر این دگرسانی های گسترشده گرمایی، وجود رگه های کوارتز و بی هنجاری هایی از جیوه، آرسنیک و طلا در کوه های پیرامون گزارش شده است (بومری، ۱۳۸۴؛ Daliran et al., 2005) که وجود فعالیت های گرمایی در دوره های گذشته را نیز نشان می دهد. با توجه به اینکه آرسنیک در سنگ های آتشفسانی سولفیدی در مناطق گرمایی دیده می شود، سنگ های آتشفسانی و رسوبات مشتق شده از آنها نیز دارای مقادیر قابل توجهی آرسنیک هستند. آرسنیک به آسانی از سنگ های آتشفسانی انتقال یافته و وارد رسوبات می شود (Spencer, 2000). بنابراین حضور مقادیر آرسنیک موجود در رسوبات بررسی شده در حوضه آبریز را می توان به منشأ گرمایی و فعالیت های آتشفسانی منطقه نسبت داد. وجود رخمنون های سنگی از جنس آگلومرا، توف و ماسه سنگ توفی در شمال خاور منطقه مورد مطالعه (شکل ۱-ب) نشانه هایی از فعالیت های آتشفسانی اثوسن بالای در منطقه است. با توجه به نمودار خوش ای شکل ۱۲ حضور دیگر عناصر را نیز می توان به منشأ آتشفسانی نسبت داد.

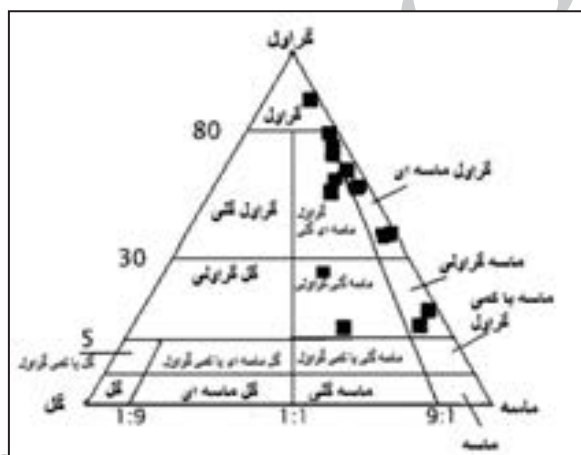
شکل ۱۴ نمودار درختی ارتباط میان نمونه های رسوب را نشان می دهد. نمونه های رسوب با توجه به بیشترین نزدیکی و همانندی به ۳ دسته کلی تقسیم شده اند. نمونه های رسوب مربوط به هر دسته تحت ضرایب همانندی بالا با یکدیگر ارتباط دارند. بنابراین می توان نتیجه گرفت که عوامل کنترل کننده رسوبات هر شاخه یکسانند. برای نمونه دسته های A و B بیشترین ضریب همانندی را در میان سه شاخه دارند. حالی که دسته C با کمترین ضریب همانندی به دو شاخه دیگر نشان داده می شود (شکل های ۱۴ و ۱۵). نمونه های ۹ تا ۱ تا ۱۵ که در دسته B قرار می گیرند مربوط به سرشاره اول در منطقه مورد بررسی هستند و همانندی های رفتاری ژئوشیمیایی دارند. تفاوت های کم میان این ایستگاه ها را می توان به تفاوت های محلی منشأ آنها نسبت داد. به طوری که تفاوت کم میان نمونه های ۶ و ۹ با دیگر ایستگاه های این گروه احتمالاً به دلیل مشا گرفتن این نمونه ها از آبراهه های روبروی هم است. ایستگاه هایی که در نزدیکی یکدیگر قرار دارند، طبعاً از یک روند ژئوشیمیایی پیروی می کنند. ویژگی آشکار این دسته بیشترین تمرکز عنصر کروم در میان این نمونه هاست. دسته های A و C به سرشاره های ۲ و ۳ مربوط هستند. در دسته A نمونه های ۱۰، ۱۱، ۱۲، ۱۳، ۱۴، ۱۵، ۱۶، ۱۷، ۱۸، ۲۱، ۲۲، ۲۳، ۲۴ و ۲۵ قرار دارند. دیگر نمونه ها در دسته C جای گرفته اند. دسته C با وجود قرار گرفتن در مرکز دسته A با کمترین همانندی رفتاری ژئوشیمیایی در دسته ای جداگانه نسبت به دو دسته دیگر جای گرفته و نسبت به دیگر نمونه ها دارای بیشترین تجمع عناصری مانند آرسنیک، سرب و کادمیم است.



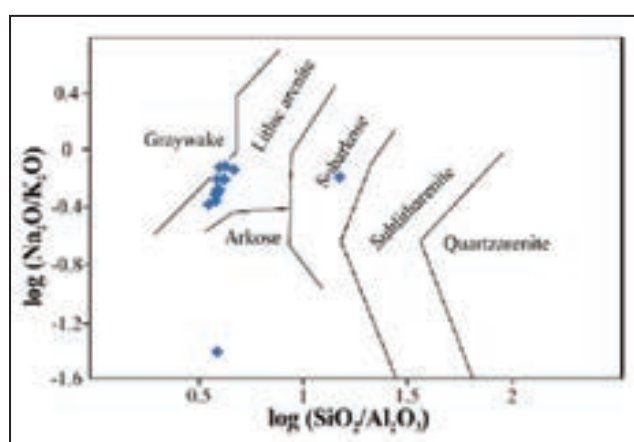
شکل ۱-الف) موقعیت جغرافیایی حوضه آبریز سرباز و ایستگاههای نمونه برداری؛ ب) نقشه زمین شناسی حوضه آبریز سرباز (برگرفته از افتخارنژاد و صمدیان، معدنی کشور (۱۳۶۷) و (Sahandi & Huber (1962).



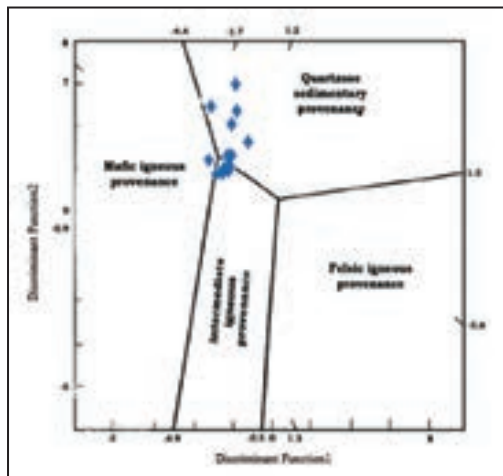
شکل ۲- نمودار XRD برای نمونه شماره ۱۲ که نشان‌دهنده کانی‌های اصلی سازنده رسوب است.



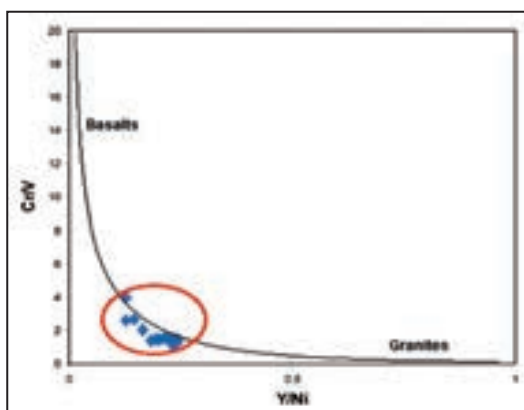
شکل ۳- رده‌بندی رسوب‌ها بر پایه اندازه ذرات سازنده آنها (Folk, 1974).



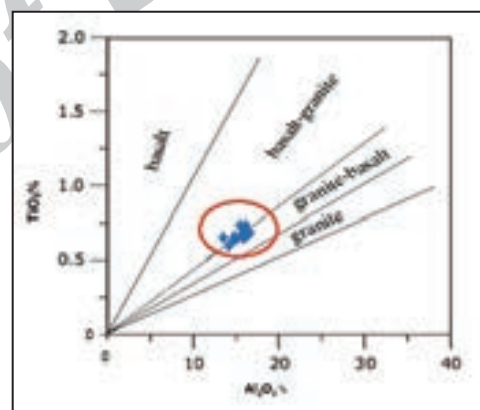
شکل ۴- نام‌گذاری ژئوشیمیایی ماسه‌ها بر پایه رده‌بندی (Pettijohn et al., 1987).



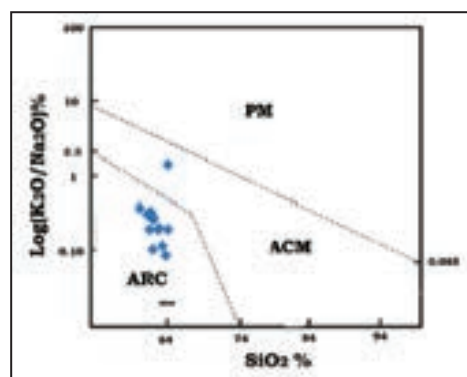
شکل ۵- نمودار تابع تفکیکی تعیین منشأ رسوب‌های با استفاده از عناصر اصلی (Roser & Korsch, 1988). نمونه‌های حوضه آبریز سرباز در محدوده رسوبی کوارتزی و آذرین حد واسط قرار می‌گیرند.



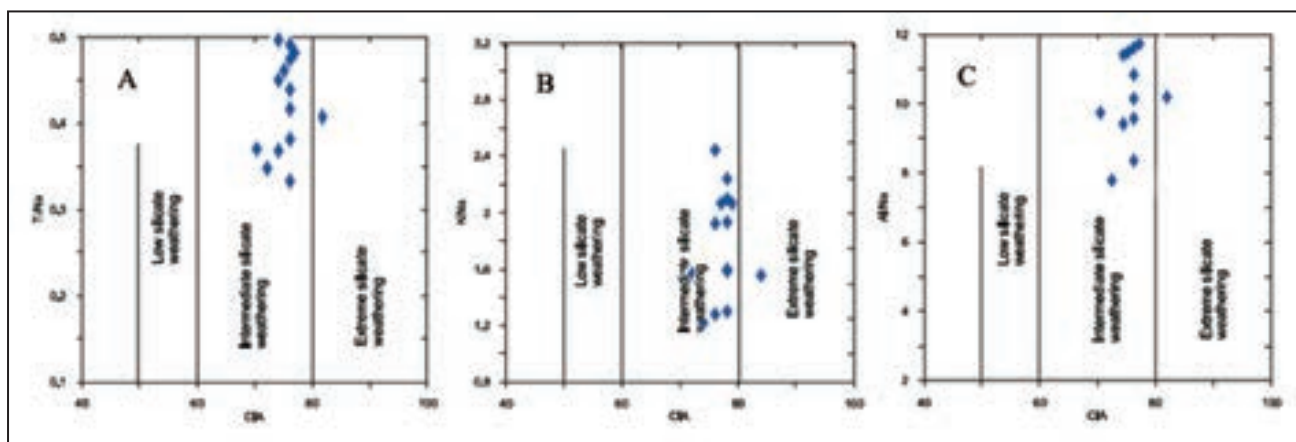
شکل ۷- نمودار تفکیکی نسبت Cr/V در برابر Y/Ni (McLennan et al., 1993). نمونه‌های مورد بررسی در محدوده ترکیب حد واسط قرار می‌گیرند.



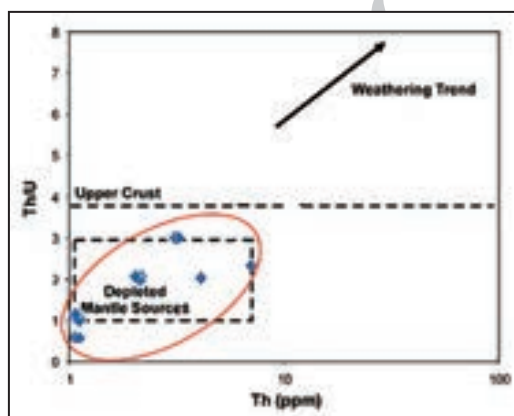
شکل ۶- تعیین منشأ رسوب‌ها (Ekosse, 2001). نمونه‌های منطقه مورد مطالعه ترکیبی حد واسط نشان می‌دهند.



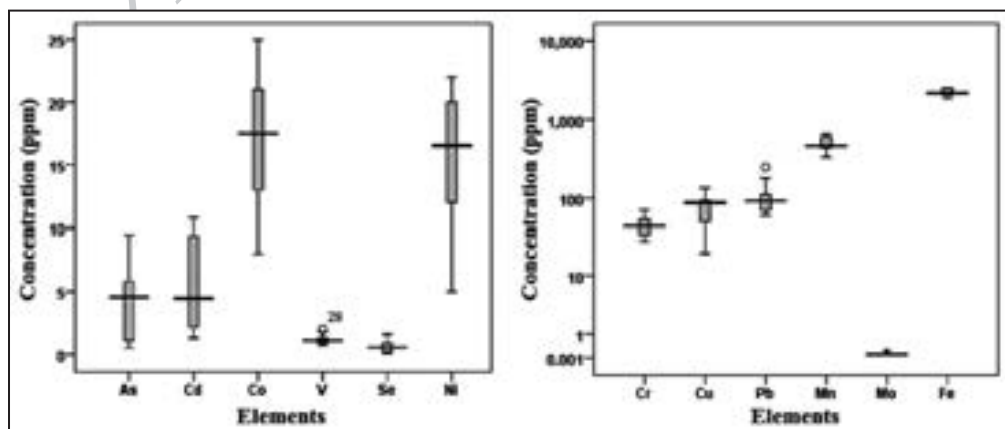
شکل ۸- نمودار تفکیکی $\log(\text{K}_2\text{O}/\text{Na}_2\text{O})\%$ - $\text{SiO}_2\%$ (Roser & Korsch, 1986) :PM: حاشیه غیرفعال؛ ACM: حاشیه فعال قاره‌ای؛ ARC: جزایر کمانی.



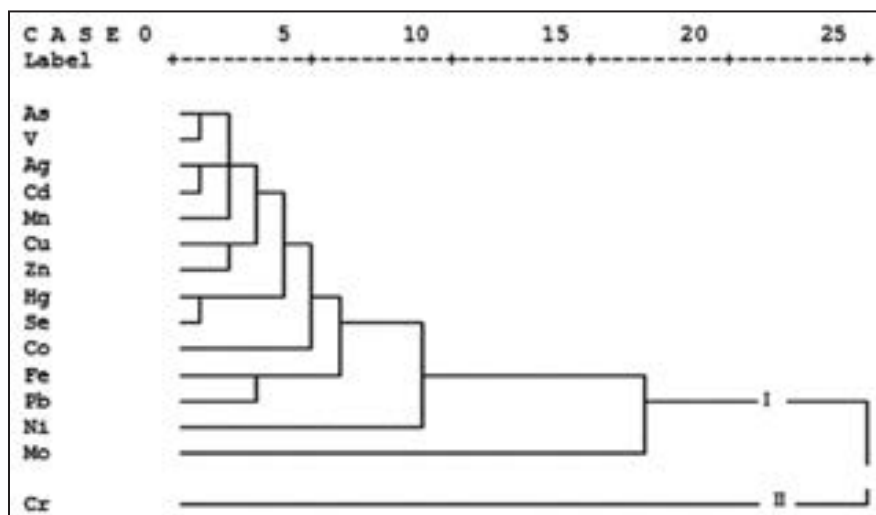
شکل ۹- نمودارهای پراکندگی شاخص شیمیایی دگرسانی (CIA) در رسوب‌های رودخانه سرباز.



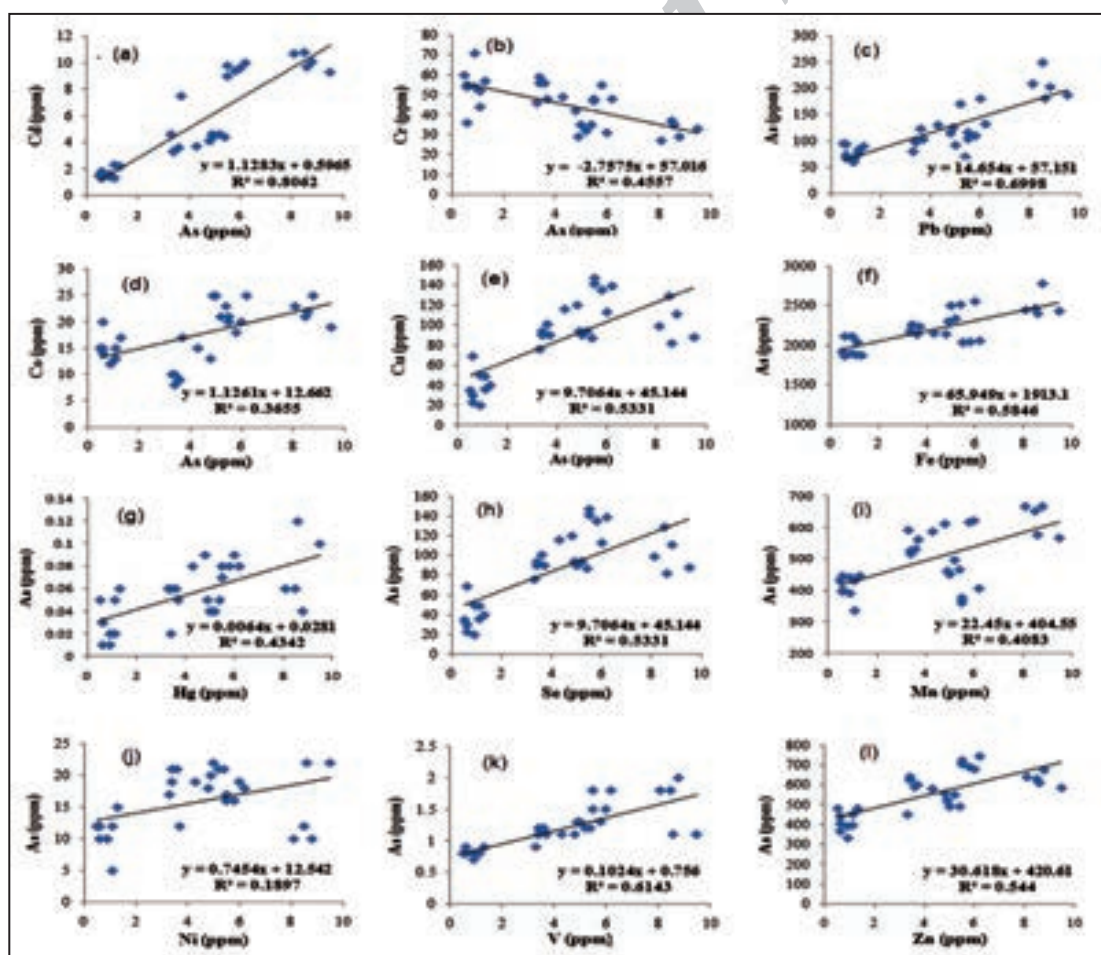
شکل ۱۰- نمودار تغییر نشان‌دهنده هوازدگی و چرخه رسوبی
. (McLennan, 1993)



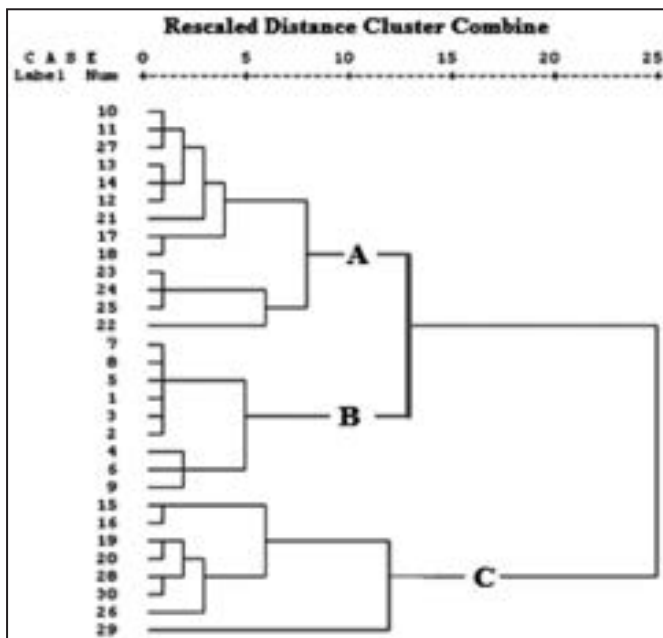
شکل ۱۱- نمودار جعبه‌ای مربوط به فلزات سنگین در حوضه‌ی رودخانه سرباز، عناصر غلظت‌های بالایی دارند.



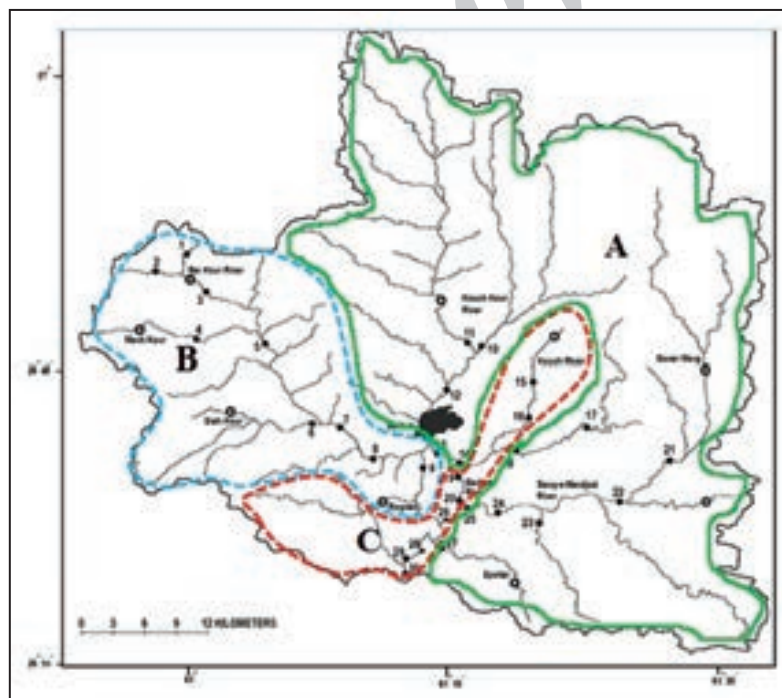
شکل ۱۲- نمودار خوشه‌ای نشان‌دهنده ارتباط میان عناصر مختلف موجود در رسوب‌های رودخانه‌ای مورد مطالعه.



شکل ۱۳- ارتباط آرسنیک با دیگر عناصر موجود در رسوب‌ها، آرسنیک با همه عناصر همبستگی مثبت دارد ولی با کروم همبستگی منفی نشان می‌دهد. احتمالاً منشأ کروم متفاوت از دیگر عناصر است.



شکل ۱۴- نمودار درختی نشان می‌دهد که کدام نمونه‌ها ارتباط نزدیکی با هم دارند؛ نمونه‌های رسوب در چهار دسته کلی قرار گرفته‌اند.



شکل ۱۵- تقسیم‌بندی حوضه آبریز رودخانه سرباز بر پایه نتایج به دست آمده از نمودار درختی.

جدول ۱- نتایج XRD برای نمونه‌های انتخابی حوضه مورد بررسی.

کانی‌های کمیاب	کانی‌های فرعی	کانی‌های اصلی	شماره نمونه
-----	مسکوویت- ایلیت، ارتوکلاز	کوارتز، آلیت، کلریت، کلسیت	SP- ۶
هورنبلند	مسکوویت- ایلیت، ارتوکلاز	کوارتز، آلیت، کلریت، کلسیت	SP- ۱۲
-----	مسکوویت- ایلیت	کوارتز، کلریت، آلیت، کلسیت	SP- ۲۲
-----	مسکوویت- ایلیت	کوارتز، کلریت، آلیت، دولومیت	SP- ۲۹

جدول ۲- درصد فراوانی اکسیدهای اصلی و عناصر کمیاب در نمونه های رسوبی حوضه آبریز رودخانه سرباز (CIA: شاخص دگرسانی شیمیایی؛ ۱: کمترین مقدار یک عنصر در میان ۱۵ نمونه، ۲: بیشترین مقدار یک عنصر در میان ۱۵ نمونه).

Sample	SiO ₂	Al ₂ O ₃	Fe ₂ O ₃	CaO	Na ₂ O	K ₂ O	MgO	TiO ₂	MnO	P ₂ O ₅	L.O.I	CIA	Cr	V	Y	Ni	Th	U
	%	%	%	%	%	%	%	%	%	%	%	%	ppm	ppm	ppm	Ppm	ppm	ppm
SP2	62.01	15.67	7.69	0.75	1.43	2.78	4.01	0.74	0.06	0.002	4.49	76	188	147	39	159	1	1
SP5	61.63	16.17	7.52	0.15	1.38	2.91	4.21	0.66	0.04	0.002	4.93	78	158 ¹	151	42	169	3	1
SP6	60.38 ¹	16.84 ²	7.89 ²	0.13	1.27	3.11	4.21	0.69	0.04	0.002	5.15	78	159	152	43	174	2	1
SP8	63.48	15.89	6.04 ¹	0.5	1.89	2.51	4.44	0.68	0.04	0.002	4.16	76	180	138	35	170	2	1
SP9	63.02	15.02	6.89	0.56	1.47	2.38	5.01	0.66	0.04	0.004	4.57	77	258	134	36	207	1	1
SP10	62.12	14.29	7.36	1.45	1.51	1.97 ¹	5.59	0.6 ¹	0.05	0.002	4.66	74	539	137	32	241	1	1
SP11	61.87	16.27	7.37	0.2	1.29	2.89	4.38	0.69	0.04	0.004	4.7	78	210	145	45	187	7	3
SP12	63.94	13.66 ¹	6.78	1.41	1.75	2.17	4.98	0.66	0.05	0.003	4.4	72	372	143	34	216	1	2
SP13	61.67	14.91	6.89	0.98	1.45	2.28	5.94	0.64	0.05	0.004	4.81	76	342	136	33 ¹	248	2	1
SP16	61.33	16.02	7.91	0.08 ¹	1.38	2.87	4.19	0.69	0.04	0.003	5.2	78	196	153	37	193	1	1
SP19	62.34	16.02	7.67	0.08 ¹	1.39	2.69	4.05	0.68	0.04	0.003	4.83	79	199	149	41	189	3	1
SP22	62.97	15.91	7.19	0.16	1.62	2.57	3.98	0.66	0.05	0.005	4.51	78	204	141	41	181	4	2
SP23	61.98	16.23	7.37	0.42	1.37	2.84	3.97	0.72	0.05	0.002	4.73	78	174	146	41	163	2	1
SP25	64.29 ²	15.24	6.89	0.26	1.58	2.54	3.89 ¹	0.65	0.04	0.002	4.39	77	173	129 ¹	38	155 ¹	1	1
SP29	64.24	16.34	7.01	0.13	0.108 ¹	2.75	3.89 ¹	0.74	0.03 ¹	0.002	4.42	84	180	136	43	170	1	2
mean	62.85	15.41	7.0909	0.55	1.411	2.51	4.54	0.67	0.04	0.003	4.61	77.3	241	143	39	191	2.1	1.3

جدول ۳- مقادیر اندازه گیری شده عناصر سنگین در رسوب های رودخانه سرباز (بر حسب .(ppm).

شماره ایستگاه	نام ایستگاه	As	Cd	Co	Cr	Cu	Fe	Hg	Mn	Pb	Se	V	Zn
1	سرکور	0.9	1.4	12	54	20	1890	0.02	440	65	0.3	0.8	390
2	سرکور	0.6	1.3	15	54	23	1860	0.03	400	68	0.1	0.8	365
3	سرکور	0.6	1.3	20	55	30	1890	0.01	395	74	0.3	0.9	405
4	مج کور	1.1	1.3	13	44	49	2040	0.02	335	76	0.1	0.8	395
5	سرکور	0.5	1.5	15	60	35	1915	0.05	430	95	0.1	0.8	480
6	سیاه کور	0.9	1.6	12	71	50	2110	0.01	390	60	0.1	0.7	330
7	سرکور	1.1	2.3	15	52	36	1875	0.05	430	83	0.1	0.8	450
8	سرکور	1.3	2.2	17	57	40	1870	0.06	445	90	0.2	0.9	480
9	رگان	0.6	1.8	14	36	69	2110	0.03	445	94	0.1	0.8	440
10	کوشکور	3.4	3.3	8	59	90	2260	0.02	525	100	0.2	1.1	640
11	کوشکور	3.4	3.3	10	56	94	2240	0.06	515	97	0.3	1.2	625
12	کوشکور	3.6	3.6	9	56	101	2135	0.06	530	123	0.2	1.2	590
13	سریاز	4.8	4.1	13	42	120	2140	0.09	610	115	0.5	1.1	555
14	سریاز	4.3	3.7	15	49	116	2150	0.08	585	130	0.6	1.1	580
15	کوشکور	5.4	4.4	23	35	87	2515	0.05	465	70	0.5	1.2	490
16	کوشکور	5.0	4.5	25	35	90	2500	0.04	450	92	0.6	1.3	490
17	کوشکور	4.9	4.6	25	29	94	2300	0.05	460	125	0.5	1.3	520
18	کوشکور	5.2	4.6	21	32	94	2335	0.04	495	170	0.9	1.2	550
19	سریاز	9.5	9.3	19	33	88	2430	0.10	565	187	1.2	1.1	585
20	سریاز	8.6	9.7	22	35	82	2400	0.12	575	180	1.2	1.1	610
21	گوار مرگ	3.3	4.6	10	46	76	2170	0.06	590	80	0.9	0.9	450
22	سنگ مسجد	5.8	9.4	18	55	135	2040	0.08	615	110	1.2	1.3	690
23	سنگ مسجد	5.5	9.0	21	47	141	2035	0.08	375	104	1.2	1.5	705
24	سنگ مسجد	5.5	9.8	20	48	147	2030	0.07	360	116	1.6	1.8	725
25	سنگ مسجد	6.2	10	25	48	139	2055	0.08	405	132	1.4	1.8	745
26	سریاز	6.0	9.6	20	31	113	2555	0.09	620	180	1.4	1.5	680
27	اسپکار	3.7	7.5	17	48	90	2235	0.05	560	103	0.9	1.1	600
28	سریاز	8.5	10.8	21	37	129	2465	0.06	650	248	0.6	1.8	630
29	سریاز	8.8	10.1	25	29	111	2780	0.04	665	202	0.6	2.0	675
30	سریاز	8.1	10.7	23	27	99	2445	0.06	665	208	0.8	1.8	640

جدول ۴ - غلظت‌های زمینه برخی عناصر در رسوب‌های بستر رودخانه در مقایسه با چند نقطه از جهان (بر حسب ppm).

عنصر	حوضه آبریز کلرادو ^۱	حوضه آبریز رودخانه پلاته جنوبی ^۲	حوضه آبریز رودخانه خرم‌آباد ^۳	حوضه آبریز سرباز	حدوده غلظت عناصر در حوضه آبریز سرباز
As	9.4	5.7	3.5	3.3	0.5-9.5
Cd	0.7	0.77	35	7.5	1.3-10.8
Pb	31	44	-	170	60-248
Hg	0.05	-	0.06	0.03	0.01-0.12
Se	1.3	1.5	1.2	0.2	0.1-1.6
Zn	190	454	80	440	330-745

۱: غلظت‌های پایه ثابت شده برای رسوبات بستر رودخانه‌ای حوضه آبریز رودخانه کلرادو (Deacon & Driver, 1999)

۲: غلظت‌های پایه ثابت شده برای رسوبات بستر رودخانه‌ای حوضه آبریز رودخانه پلاته جنوبی (Heiny & Tate, 1997)

۳: غلظت‌های پایه ثابت شده برای رسوبات بستر رودخانه‌ای حوضه آبریز خرم‌آباد (ورکوهی، ۱۳۸۲)

جدول ۵ - شاخص زمین‌انباست و رده‌های مختلف آلودگی رسوب‌ها (Muller, 1969).

رده	شاخص زمین‌انباست	سطوح آلودگی
.	$I_{geo} \leq 0$	غیرآلوده
۱	$0 < I_{geo} < 1$	غیرآلوده تا متوسط آلوده
۲	$1 < I_{geo} < 2$	متوسط آلوده
۳	$2 < I_{geo} < 3$	متوسط تا زیاد آلوده
۴	$3 < I_{geo} < 4$	زیاد آلوده
۵	$4 < I_{geo} < 5$	زیاد آلوده تا به شدت آلوده
۶	$5 < I_{geo}$	به شدت آلوده

جدول ۶ - مقادیر شاخص زمین‌انباست عناصر در رسوب‌های مورد مطالعه (بر حسب ppm).

عنصر	Min	Max	Mean ($\pm SD$)	Mean in shale	I_{geo}	
As	0.5	9.5	4.23 (± 2.77)	13	-2.20	غیرآلوده
Cd	1.30	10.8	5.37 (± 4.34)	0.3	3.57	زیادآلوده
Co	8	25	17.43 (± 5.17)	19	-0.70	غیرآلوده
Cr	27	71	45.33 (± 11.35)	90	-1.57	غیرآلوده
Cu	20	147	86.26 (± 36.95)	45	0.35	غیرآلوده تا متوسط آلوده
Fe	1860	2780	2192.5 (± 239.7)	47200	-5.01	غیرآلوده
Hg	0.01	0.12	0.055 (± 0.027)	0.4	-3.44	غیرآلوده
Mn	335	665	499.67 (± 97.66)	850	-1.35	غیرآلوده
Pb	60	248	119.23 (± 48.69)	20	1.99	متوسط آلوده
Se	0.1	1.60	0.6233 (± 0.46)	0.6	-0.53	غیرآلوده
V	0.7	2.0	1.90 (± 0.36)	130	-6.68	غیرآلوده
Zn	330	745	550.33 (± 115.39)	95	1.95	متوسط آلوده

جدول ۷- ضریب همبستگی پیرسون (n=30) میان عناصر مورد بررسی در رسوب‌های حوضه رودخانه سرباز؛ میان همه عناصر همبستگی مثبتی دیده می‌شود ولی کروم با همه عناصر رابطه منفی دارد.

	As	Cd	Co	Cr	Cu	Fe	Hg	Mn	Ni	Pb	Se	V	Zn
As	1												
Cd	.898**	1											
Co	.605**	.605**	1										
Cr	-.675**	-.531**	-.661**	1									
Cu	.730**	.770**	.370*	-.369*	1								
Fe	.765**	.570**	.474**	-.735**	.464**	1							
Hg	.659**	.652**	.278	-.338	.590**	.252	1						
Mn	.639**	.534**	.088	-.436*	.415*	.638**	.454*	1					
Ni	.436*	.230	.161	-.216	.440*	.340	.563**	.212	1				
Pb	.837**	.768**	.487**	-.652**	.536**	.676**	.503**	.695**	.173	1			
Se	.706**	.840**	.522**	-.409*	.715**	.332	.696**	.274	.419*	.476**	1		
V	.784**	.844**	.635**	-.513**	.799**	.581**	.380*	.411*	.188	.703**	.625**	1	
Zn	.738**	.833**	.373*	-.306	.877**	.414*	.640**	.448*	.408*	.614**	.735**	.826**	1

**Correlation is significant at the 0.01 level

*Correlation is significant at the 0.05 level

کتابنگاری

- آقاباتی، س.ع.، ۱۳۸۳- زمین‌شناسی ایران، انتشارات سازمان زمین‌شناسی و اکتشافات معدنی کشور، تهران، چاپ اول، ۶۰۶ ص.
- افتخارنژاد، ج. و صمدیان، م. ر.، ۱۳۶۷- نقشه زمین‌شناسی نیکشهر، مقیاس ۱:۲۵۰۰۰، سازمان زمین‌شناسی و اکتشافات معدنی ایران.
- بومری، م.، ۱۳۸۴- بررسی منابع انرژی زمین‌گرمایی و کانی‌سازی آتشفسان تفتان با استفاده از ایزوتوپ‌های پایدار آب، مجله جغرافیا و توسعه، جلد پنجم، صص ۲۵ تا ۴۰.
- سازمان آب منطقه‌ای استان سیستان و بلوچستان، ۱۳۷۹- مطالعات توجیهی طرح ساماندهی و مهار رودخانه سرباز، گزارش مطالعات زمین‌شناسی، ژئومورفولوژی، ژئوتکنیک و منابع قرضه، شرکت جهاد تحقیقات آب و آبخیزداری، جلد هفتم، صص ۲۸ تا ۴۲.
- ورکوهی، ش.، ۱۳۸۲- مطالعات ژئوشیمی محیطی عناصر ردیاب و بیوژئوشیمی در حوضه آبریز خرم‌آباد، پایان‌نامه دکترا، دانشگاه آزاد اسلامی واحد علوم و تحقیقات، ۲۷۰ ص.

References

- Akarish, A. I. M. & El-Gohary, A. M., 2008- Petrography and geochemistry of lower Paleozoic sandstones, East Sinai, Egypt: Implications for provenance and tectonic setting. Journal of African Earth Sciences, 52: 43-54.
- Baolin, L., Yaping, W., Xin, S. & Houyi, Z., 2013- Elemental geochemistry of northern slope sediments from the South China Sea: Implications for provenance and source area weathering since Early Miocene. Chemie der Erde, 73: 61– 74.
- Berberian, M., 1981- Active faulting and tectonics of Iran. In H. K. Gupta and F. M. Delany (eds.), Zagros-Hindu Kush-Himalaya Geodynamic Evolution, American Geophysical Union, Geodynamics Series, 3: 33-69.
- Bhatia, M. R. & Crook, K. A.W., 1986- Trace element characteristics of graywackes and tectonic setting discrimination of sedimentary basins. Contributions to Mineralogy and Petrology, 92: 181-193.
- Burg, J. P., Bernoulli, D., Dolati, A., Muller, C., Smit, J. & Spezzaferri, S., 2012- Stratigraphy and Structure of the Iranian Makran. International Conference and Exhibition.

- Cullers, R. L., 2000- The geochemistry of shales, siltstones and sandstones of Pennsylvanian-Permian age, Colorado, USA: Implications for provenance and metamorphic studies. *Lithos*, 51: 181- 203.
- Daliran, F., Paar, W. H., Neubauer, F. & Raschidi, B., 2005- New discovery of epithermal gold at Chahnali prospect, Bazman volcano, SE-Iran. *Mineral Deposit Research: Meeting the Global Challenge*. 917-919.
- Deacon, J. R. & Driver, N. E., 1999- Distribution of trace elements in streambed sediment associated with mining activities in the Upper Colorado River Basin, Colorado, USA, 1995-96. *Archives of Environmental Contamination and Toxicology*, 37: 7-18.
- Ekosse, G., 2001- Provenance of The Kgwakgwa Kaolin deposit in southeastern Botswana and its possible utilization. *Applied Clay Science*, 20: 137- 152.
- Folk, R. L., 1974- petrology of sedimentary rocks, Hemphill, Austin, 182p .
- Gateneh, W., 2000- Geochemistry provenance and depositional tectonic setting of the Adigrat Sandstone northern Ethiopia. *Journal of African Earth Sciences*, 35: 185-198.
- Ghrefat, H. & Yusuf, N., 2006- Assessing Mn, Fe, Cu, Zn and Cd pollution in bottom sediments of wadi Al-Arab Dam, Jordan. *Chemosphere*, 64:2114-2121.
- Heiny, J. S. & Tate, C. M., 1997- Concentration, distribution, and comparison of selected trace elements in bed sediment and fish tissue in the South Platte River Basin, USA, 1992-93. *Arch Environ Contam Toxicol* 32: 246-259.
- Jafarzadeh, M., Harami, R. M., Friis, H., Amini, A., Mahboubi, A. & Lenaz, D., 2014- Provenance of the Oligocene-Miocene Zivah Formation, NW Iran, assessed using heavy mineral assemblage and detrital clinopyroxene and detrital apatite analyses. *Journal of Afr Earth Science*. 89:56-71.
- McLennan, S. M., 1993- Weathering and global denudation. *Geology*, 101: 295-303.
- McLennan, S. M., Hemming, S., McDanniel, D. K. & Hanson, G. N., 1993- Geochemical approaches to sedimentation, provenance, and tectonics. In: Johnsson, M.J., Basu, A. (eds.). *Processes Controlling the Composition of Clastic Sediments*. Geological Society of America, Special Paper, 285:21-40.
- Muller, G., 1969- Index of geoaccumulation in sediments of the Rhine River. *Geology*, 2:109-118.
- Pettijohn, F. J., Potter, P. E. & Siever, R., 1987- Sand and Sandstone, 2nd ed. Springer-Verlag, 553p.
- Potter, P. E., 1978- Petrology and chemistry of modern big river sands. *Geology*, 86: 423-449.
- Roddaz, M., Viers, J., Brusset, S., Baby, P., Boucayrand, C. & Heraïl, G., 2006- Controls on weathering and provenance in the Amazonian foreland basin: insights from major and trace element geochemistry of Neogene Amazonian sediments. *Chemical Geology*, 226: 31-65.
- Rollinson, H. R., 1993- Using geochemical data: Evaluation, presentation, interpretation. Longman Scientific and Technical, New York. 352 p.
- Roser, B. P. & Korsch, R. J., 1986- Determination of tectonic setting of sandstone-mudstone suites using SiO₂ content and KO ratio. *Journal of Geology*, 94 (5): 635-650.
- Roser, B. P. & Korsch, R. J., 1988- Provenance signatures of sandstone-mudstone suites determined using discriminant function analysis of major-element data. *Chemical Geology*, 67:119-139.
- Sahandi, M. R. & Huber, H., 1962- Geology Compilation Map of Kuh-i- Birg, 1:250,000, N.I.O.C.
- Spencer, J. E., 2000- Arsenic in ground water. *Arizona Geology*. Arizona Geological Survey, 30(3), 1-4.
- Stocklin, J., 1974- Possible ancient continental margin in Iran. In: Burk. C. A and Drak. C. L. (Eds). *The Geology of Continental Margins*. Springer, New York, 873-887.
- Tao, H., Wang, Q., Yang, X. & Jiang, L., 2013- Provenance and tectonic setting of Late Carboniferous clastic rocks in West Junggar, Xinjiang, China: A case from the Hala-alat Mountains. *Journal of Asian Earth Sciences*, 64: 210-222.
- Taylor, S. R. & McLennan, S., 1985- The Continental Crust: Its composition and Evolution. Oxford, Blackwell, 312p.
- Turekian, K. K. & Wedepohl, K. H., 1961- Distribution of the elements in some major units of the earth's crust. *Geological Society of America Bulletin*, 72: 175-192.
- U. S. Environmental Protection Agency, 2001- Total coliform rule- A quick reference guide, Office of water, 816: 01-033.
- Williams, T. P., Bubb, J. M. & Lester, J. N., 1994- Metal accumulation within saltmarsh environments: a review. *Marine Pollution Bulletin*, 28: 277-290.

Geochemistry of Streambed Sediments of Sarbaz River, South East of Iran: Determining Sediment Provenance and its Impact on Possible Environmental Pollution

M. Shahraki ¹, M. H. Mahmudy Gharaii ^{2*}, R. Moussavi-Harami ³ & A. Ahmadi ⁴

¹ Ph.D. Student, Department of Geology, International Campus, Ferdowsi University of Mashhad, Mashhad, Iran

² Associated Professor, Department of Geology, Faculty of Science, Ferdowsi University of Mashhad, Mashhad, Iran

³ Professor, Department of Geology, Faculty of Science, Ferdowsi University of Mashhad, Mashhad, Iran

⁴ Assistant Professor, Department of Geology, Faculty of Science, Sistan and Baluchestan University, Zahedan, Iran

Received: 2014 July 01

Accepted: 2015 May 05

Abstract

In this research the catchment of the Sarbaz river, SE Iran, has been studied to determine sediment provenance and its possible pollution potential. 30 sediment samples collected from the riverbed were analyzed for major and trace elements, using combined XRF and AAS methods. Based on major and trace element data and identification charts the sediments are identified to be of litharenite composition. Quartz-rich sedimentary and intermediate igneous origin and island arc tectonic setting is proposed for the sediments, mainly inferred from discrimination diagrams. Regarding the hazardous potential of metals and metalloids, As, Cd, Co, Cr, Cu, Fe, Mn, Hg, Ni, Pb, Se, V and Zn were studied from 30 locations. Pb, Cd and As concentrations measured respectively in 7, 10 and 20 locations are more than concentrations of the same elements in the world riverbeds. In this research, the polluted sediments were evaluated using the geo-accumulation index (Igeo). Based on this index, Cd, Pb, Zn and Cu show some degrees of pollution, while other elements are evaluated to be less pollutant. Statistic analysis show strong correlation between studied elements. Volcanic activity in north of the Makran zone can readily justify the common origin of the contaminants in the catchment of the Sarbaz river. Chromium is most probably originated from the nearby Makran ophiolites. It is concluded that geological factors have mainly been the controlling factors for the sediment pollution in the Sarbaz catchment.

Keywords: Geochemistry, Geo-accumulation index, Sediment pollution, Sarbaz catchment.

For Persian Version see pages 237 to 250

*Corresponding author: M. H. Mahmudy Gharaii; E-mail: mhmgharaie@um.ac.ir

Archive of